



Низкие динамические потери
Малый заряд обратного восстановления
Разветвленный управляющий электрод для
высоких скоростей нарастания тока

Быстродействующий Импульсный Тиристор Тип ТБИ573-2000-12

Средний прямой ток	I_{TAV}	2000 А
Повторяющееся импульсное напряжение в закрытом состоянии	U_{DRM}	1000 ÷ 1200 В
Повторяющееся импульсное обратное напряжение	U_{RRM}	
Время выключения	t_q	10.0; 12.5; 16.0; 20.0 мкс
U_{DRM}, U_{RRM} , В	1000	1200
Класс по напряжению	10	12
T_j , °C		- 60 ÷ 125

ПРЕДЕЛЬНО ДОПУСТИМЫЕ ЗНАЧЕНИЯ ПАРАМЕТРОВ

Обозначение и наименование параметра		Ед. изм.	Значение	Условия измерения	
Параметры в проводящем состоянии					
I_{TAV}	Средний ток в открытом состоянии	А	2000 3825	$T_c=94$ °C; двухстороннее охлаждение; $T_c=55$ °C; двухстороннее охлаждение; 180 эл. град. синус; 50 Гц	
I_{TRMS}	Действующий ток в открытом состоянии	А	6005	$T_c=94$ °C; двухстороннее охлаждение; 180 эл. град. синус; 50 Гц	
I_{TSM}	Ударный ток в открытом состоянии	кА	52.0 60.0	$T_j=T_{j\ max}$ $T_j=25$ °C	180 эл. град. синус; 50 Гц ($t_p=10$ мс); единичный импульс; $U_D=U_R=0$ В; Импульс управления: $I_G=I_{FGM}$; $U_G=20$ В; $t_{GP}=50$ мкс; $di_G/dt=1$ А/мкс
			55.0 63.0	$T_j=T_{j\ max}$ $T_j=25$ °C	180 эл. град. синус; 60 Гц ($t_p=8.3$ мс); единичный импульс; $U_D=U_R=0$ В; Импульс управления: $I_G=I_{FGM}$; $U_G=20$ В; $t_{GP}=50$ мкс; $di_G/dt=1$ А/мкс
I^2t	Защитный фактор	$A^2 \cdot 10^3$	13520 18000	$T_j=T_{j\ max}$ $T_j=25$ °C	180 эл. град. синус; 50 Гц ($t_p=10$ мс); единичный импульс; $U_D=U_R=0$ В; Импульс управления: $I_G=I_{FGM}$; $U_G=20$ В; $t_{GP}=50$ мкс; $di_G/dt=1$ А/мкс
			12550 16470	$T_j=T_{j\ max}$ $T_j=25$ °C	180 эл. град. синус; 60 Гц ($t_p=8.3$ мс); единичный импульс; $U_D=U_R=0$ В; Импульс управления: $I_G=I_{FGM}$; $U_G=20$ В; $t_{GP}=50$ мкс; $di_G/dt=1$ А/мкс

Блокирующие параметры				
U_{DRM}, U_{RRM}	Повторяющееся импульсное обратное напряжение и повторяющееся импульсное напряжение в закрытом состоянии	В	1000÷1200	$T_{j\ min} < T_j < T_{j\ max}$; 180 эл. град. синус; 50 Гц; управление разомкнуто
U_{DSM}, U_{RSM}	Неповторяющееся импульсное обратное напряжение и неповторяющееся импульсное напряжение в закрытом состоянии	В	1100÷1300	$T_{j\ min} < T_j < T_{j\ max}$; 180 эл. град. синус; 50 Гц; единичный импульс; управление разомкнуто
U_D, U_R	Постоянное обратное и постоянное прямое напряжение	В	$0.75 \cdot U_{DRM}$ $0.75 \cdot U_{RRM}$	$T_j = T_{j\ max}$; управление разомкнуто
Параметры управления				
I_{FGM}	Максимальный прямой ток управления	А	10	$T_j = T_{j\ max}$
U_{RGM}	Максимальное обратное напряжение управления	В	5	
P_G	Максимальная рассеиваемая мощность по управлению	Вт	8	
Параметры переключения				
$(di_T/dt)_{crit}$	Критическая скорость нарастания тока в открытом состоянии ($f=1$ Hz)	А/мкс	2500	$T_j = T_{j\ max}$; $U_D = 0.67 \cdot U_{DRM}$; $I_{TM} = 2 I_{TAV}$; Импульс управления: $I_G = I_{FGM}$; $U_G = 20$ В; $t_{GP} = 50$ мкс; $di_G/dt = 1$ А/мкс
Тепловые параметры				
T_{stg}	Температура хранения	°C	-60 ÷ 125	
T_j	Температура р-п перехода	°C	-60 ÷ 125	
Механические параметры				
F	Монтажное усилие	кН	40.0÷50.0	
a	Ускорение	м/с ²	50 100	В не зажатом состоянии В зажатом состоянии

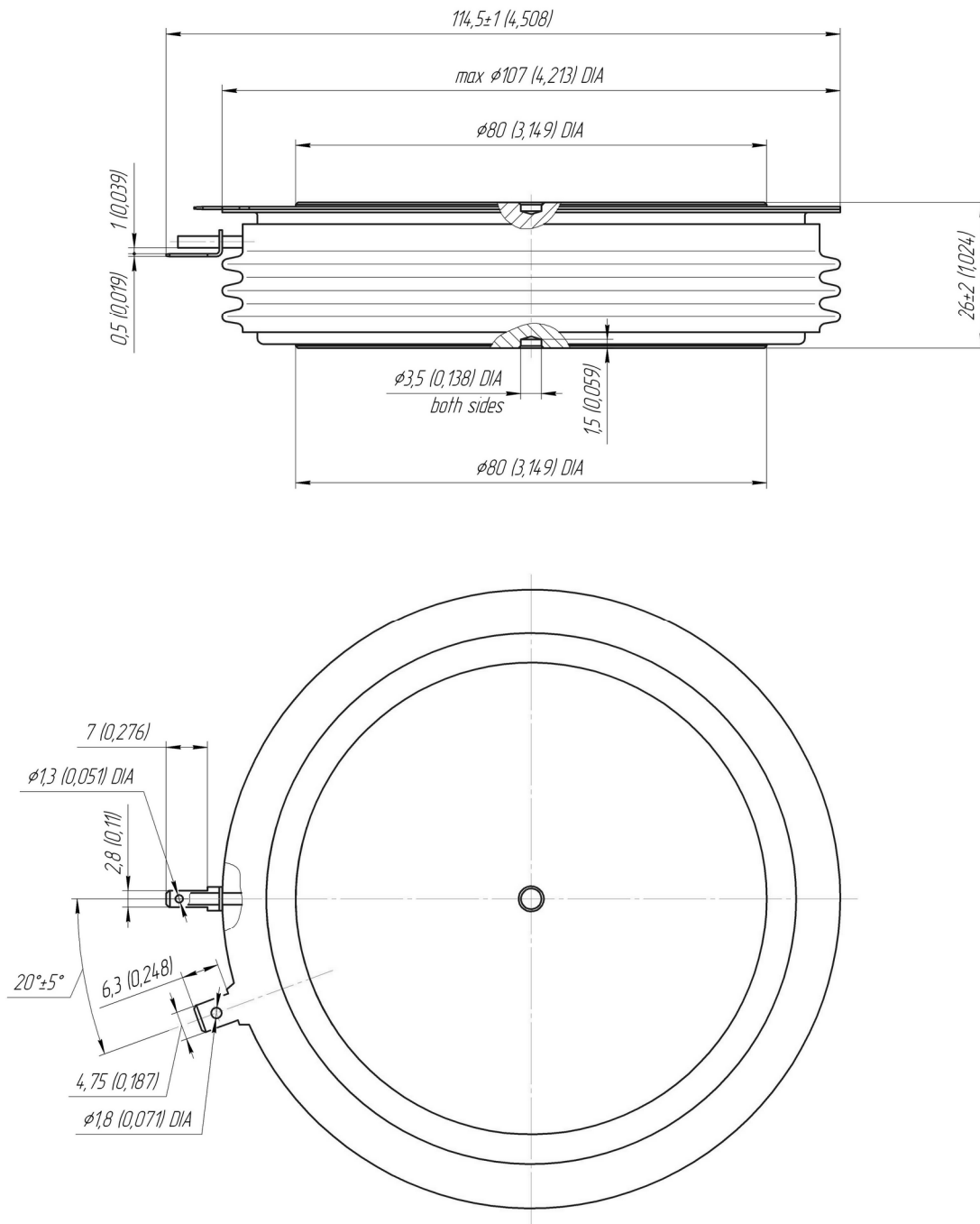
ХАРАКТЕРИСТИКИ

Обозначение и наименование характеристики		Ед. изм.	Значение	Условия измерения
Характеристики в проводящем состоянии				
U_{TM}	Импульсное напряжение в открытом состоянии, макс	В	1.55 2.15	$T_j = T_{j\ max}$; $I_{TM} = 4000$ А $T_j = 25$ °C; $I_{TM} = 6280$ А
$U_{T(TO)}$	Пороговое напряжение, макс	В	1.40	$T_j = T_{j\ max}$;
r_T	Динамическое сопротивление в открытом состоянии, макс	МОм	0.080	$0.5 \pi I_{TAV} < I_T < 1.5 \pi I_{TAV}$
I_H	Ток удержания, макс	мА	1000	$T_j = 25$ °C; $U_D = 12$ В; управление разомкнуто
Блокирующие характеристики				
I_{DRM}, I_{RRM}	Повторяющийся импульсный обратный ток и повторяющийся импульсный ток в закрытом состоянии, макс	мА	300	$T_j = T_{j\ max}$; $U_D = U_{DRM}$; $U_R = U_{RRM}$
$(dv_D/dt)_{crit}$	Критическая скорость нарастания напряжения в закрытом состоянии ¹⁾ , мин	В/мкс	1000	$T_j = T_{j\ max}$; $U_D = 0.67 \cdot U_{DRM}$; управление разомкнуто

Характеристики управления											
U_{GT}	Отпирающее постоянное напряжение управления, макс	V	5.00 3.00 2.00	$T_j = T_{j \min}$ $T_j = 25^\circ C$ $T_j = T_{j \max}$	$U_D = 12 V; I_D = 3 A;$ Постоянный ток управления						
I_{GT}	Отпирающий постоянный ток управления, макс	mA	500 300 200	$T_j = T_{j \min}$ $T_j = 25^\circ C$ $T_j = T_{j \max}$							
U_{GD}	Неотпирающее постоянное напряжение управления, мин	V	0.35	$T_j = T_{j \max};$ $U_D = 0.67 U_{DRM};$							
I_{GD}	Неотпирающий постоянный ток управления, мин	mA	15.00		Постоянный ток управления						
Динамические характеристики											
t_{gd}	Время задержки включения	мкс	2.0	$T_j = 25^\circ C; V_D = 0.4 V_{DRM}; I_{TM} = I_{TAV};$ Gate pulse: $I_G = I_{FGM}; V_G = 20 V;$ $t_{GP} = 50 \mu s; di_G/dt = 1 A/\mu s$							
t_q	Время выключения ²⁾ , макс	мкс	10.0; 12.5; 16.0; 20.0	$dv_D/dt = 50 V/\mu s;$	$T_j = T_{j \max}; I_{TM} = I_{TAV};$ $di_R/dt = -10 A/\mu s;$ $U_R = 100 V;$ $U_D = 0.67 U_{DRM}$						
			12.5; 16.0; 20.0; 25.0	$dv_D/dt = 200 V/\mu s;$							
Q_{rr}	Заряд обратного восстановления, макс	мкКл	220	$T_j = T_{j \max}; I_{TM} = I_{TAV};$							
t_{rr}	Время обратного восстановления, макс	мкс	3.8	$di_R/dt = -50 A/\mu s;$ $U_R = 100 V$							
I_{rrM}	Ток обратного восстановления, макс	A	115								
Тепловые характеристики											
R_{thjc}	Тепловое сопротивление р-п переход-корпус, макс	°C/Вт	0.0085	Постоянный ток	Двухстороннее охлаждение						
R_{thjc-A}			0.0187		Охлаждение со стороны анода						
R_{thjc-K}			0.0153		Охлаждение со стороны катода						
R_{thck}	Тепловое сопротивление корпус-охладитель, макс	°C/Вт	0.0020	Постоянный ток							
Механические характеристики											
w	Масса, тип	г	1500								
D_s	Длина пути тока утечки по поверхности	мм (дюйм)	36.6 (1.441)								
D_a	Длина пути тока утечки по воздуху	мм (дюйм)	16.2 (0.638)								
ПРИМЕЧАНИЕ			МАРКИРОВКА								
1) Критическая скорость нарастания напряжения в закрытом состоянии			TБИ	573	2000	12	A2	A4	УХЛ2		
			1	2	3	4	5	6	7		
Обозначение группы	A2		1. Быстродействующий импульсный тиристор								
$(dv_D/dt)_{crit}, V/\mu s$	1000		2. Конструктивное исполнение								
2) Время выключения ($dv_D/dt = 50 V/\mu s$)			3. Средний ток в открытом состоянии, А								
			4. Класс по напряжению								
Обозначение группы	A4	X3	T3	P3	5. Критическая скорость нарастания напряжения в закрытом состоянии						
$t_q, \mu s$	10.0	12.5	16.0	20.0	6. Группа по времени выключения ($dv_D/dt = 50 V/\mu s$)						
			7. Климатическое исполнение по ГОСТ 15150: УХЛ2, Т								

ГАБАРИТНЫЕ РАЗМЕРЫ

Тип корпуса: T.F1



Все размеры в миллиметрах (дюймах)

Содержащаяся здесь информация является конфиденциальной и находится под защитой авторских прав.
В интересах улучшения качества продукции, ЗАО «Протон-Электротекс» оставляет за собой право изменять информационные листы без
уведомления.

On-state characteristic model (see Fig. 1).

Analytical function for On-state characteristic:

$$V_T = A + B \cdot i_T + C \cdot \ln(i_T + 1) + D \cdot \sqrt{i_T}$$

	Coefficients	
	$T_j = 25^\circ\text{C}$	$T_j = T_{j,\max}$
A	1.886396	1.150214
B	0.019465	0.062607
C	0.018317	0.024464
D	0.041506	0.055434

Transient thermal impedance junction to case Z_{thjc} model (see Fig. 2).

Analytical function for Transient thermal impedance junction to case Z_{thjc} for DC:

$$Z_{thjc} = \sum_{i=1}^n R_i \left(1 - e^{-\frac{t}{\tau_i}} \right)$$

Where $i = 1$ to n , n is the number of terms in the series.

t = Duration of heating pulse in seconds.

Z_{thjc} = Thermal resistance at time t .

R_i = Amplitude of p_{th} term.

τ_i = Time constant of r_{th} term.

DC Double side cooled

i	1	2	3	4	5	6
$R_i, \text{K/W}$	0.0003136	0.003279	0.0001485	0.0007865	0.0002694	0.003703
τ_i, s	1.181	0.06771	0.003331	0.145	0.0004353	0.9499

DC Anode side cooled

i	1	2	3	4	5	6
$R_i, \text{K/W}$	0.01013	0.004062	0.0009701	0.00306	0.000148	0.0002685
τ_i, s	9.747	1.058	0.1302	0.06675	0.003276	0.0004342

DC Cathode side cooled

i	1	2	3	4	5	6
$R_i, \text{K/W}$	0.006619	0.004032	0.0008219	0.003231	0.000147	0.0002716
τ_i, s	9.745	1.026	0.143	0.06778	0.00342	0.0004396

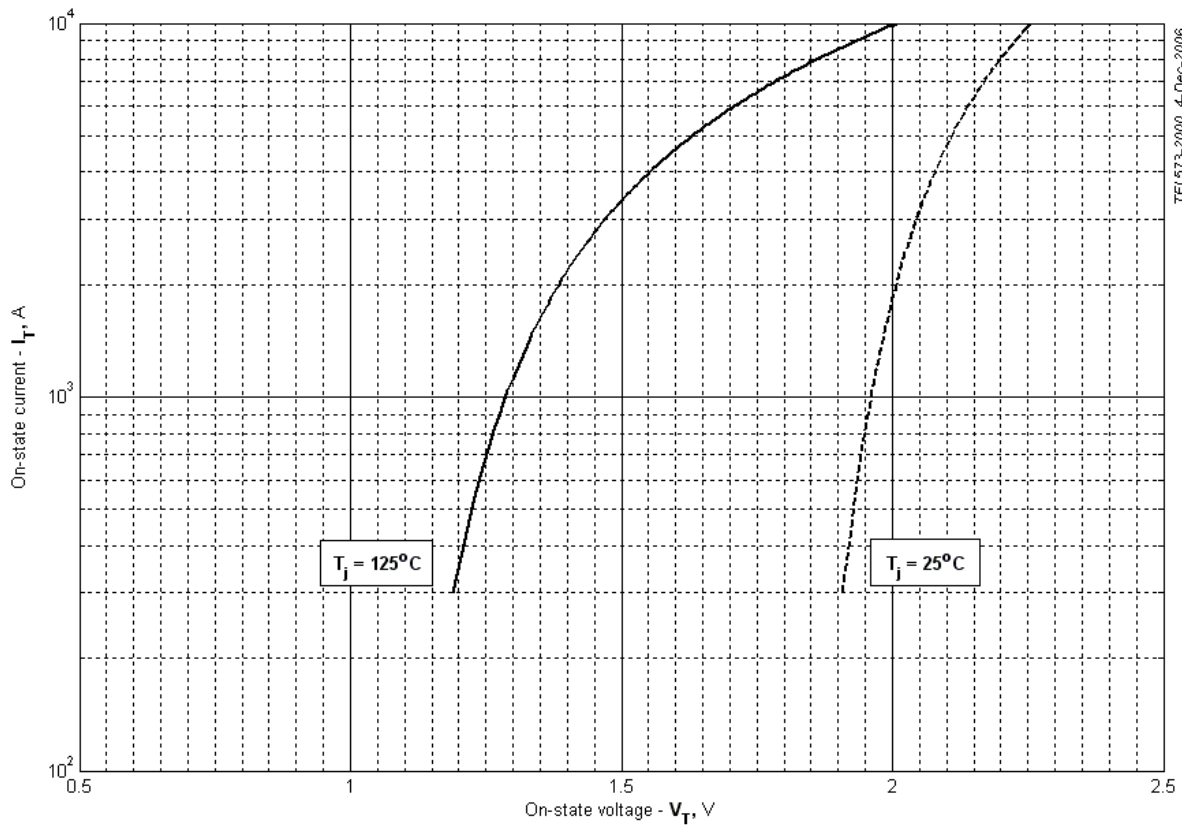


Fig 1 – On-state characteristics of Limit device

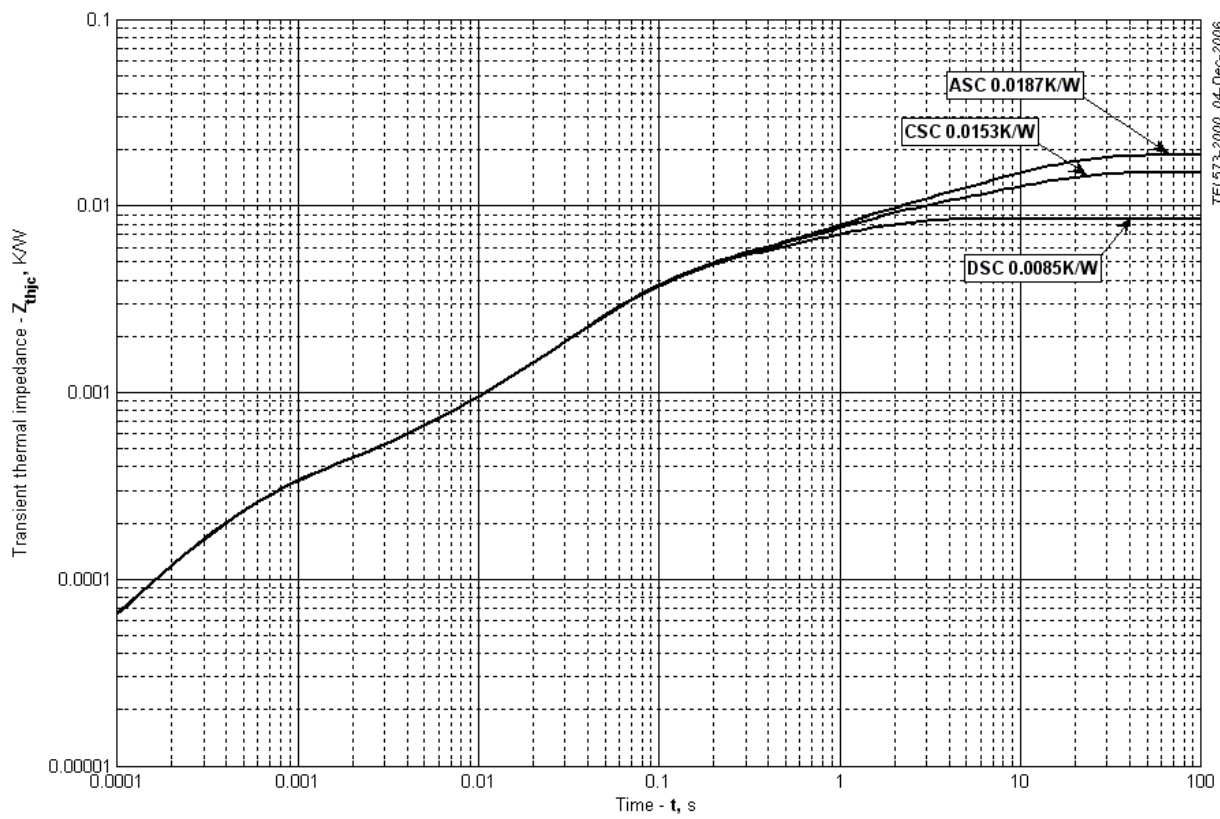


Fig 2 – Transient thermal impedance

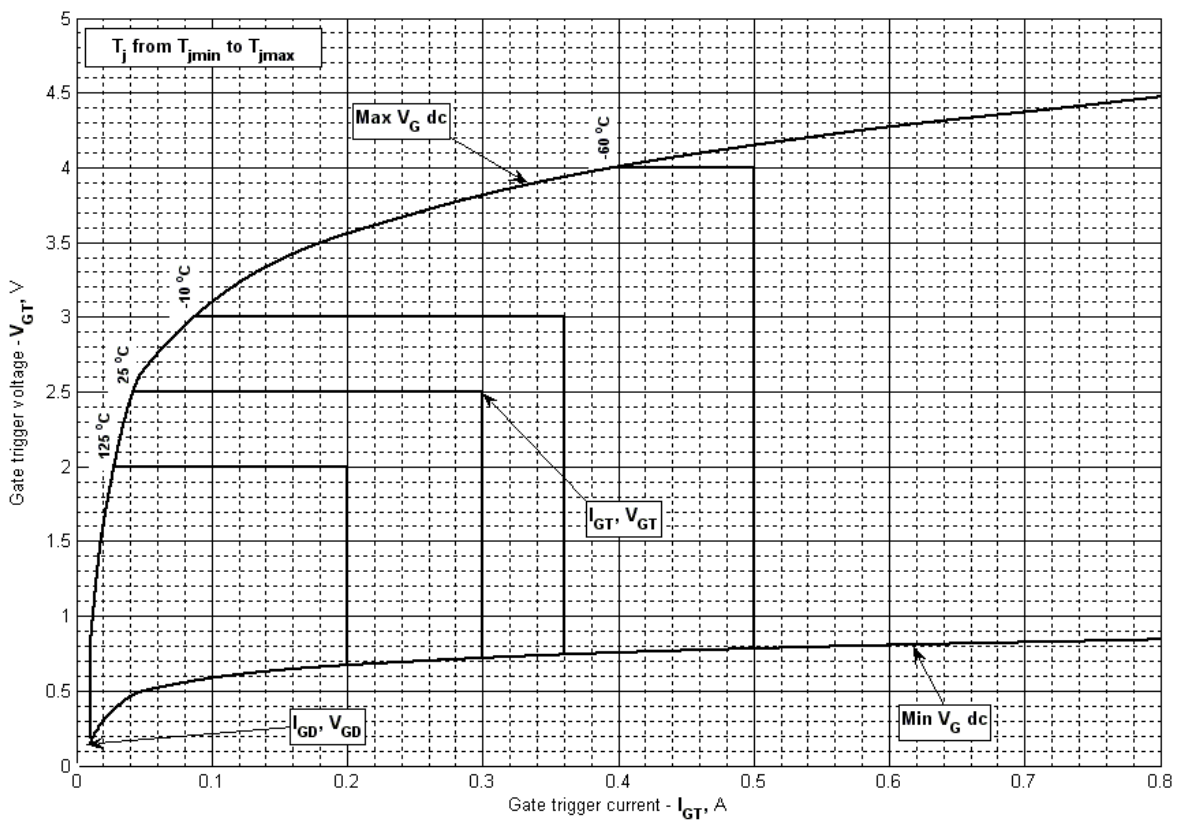


Fig 3 – Gate characteristics – Trigger limits

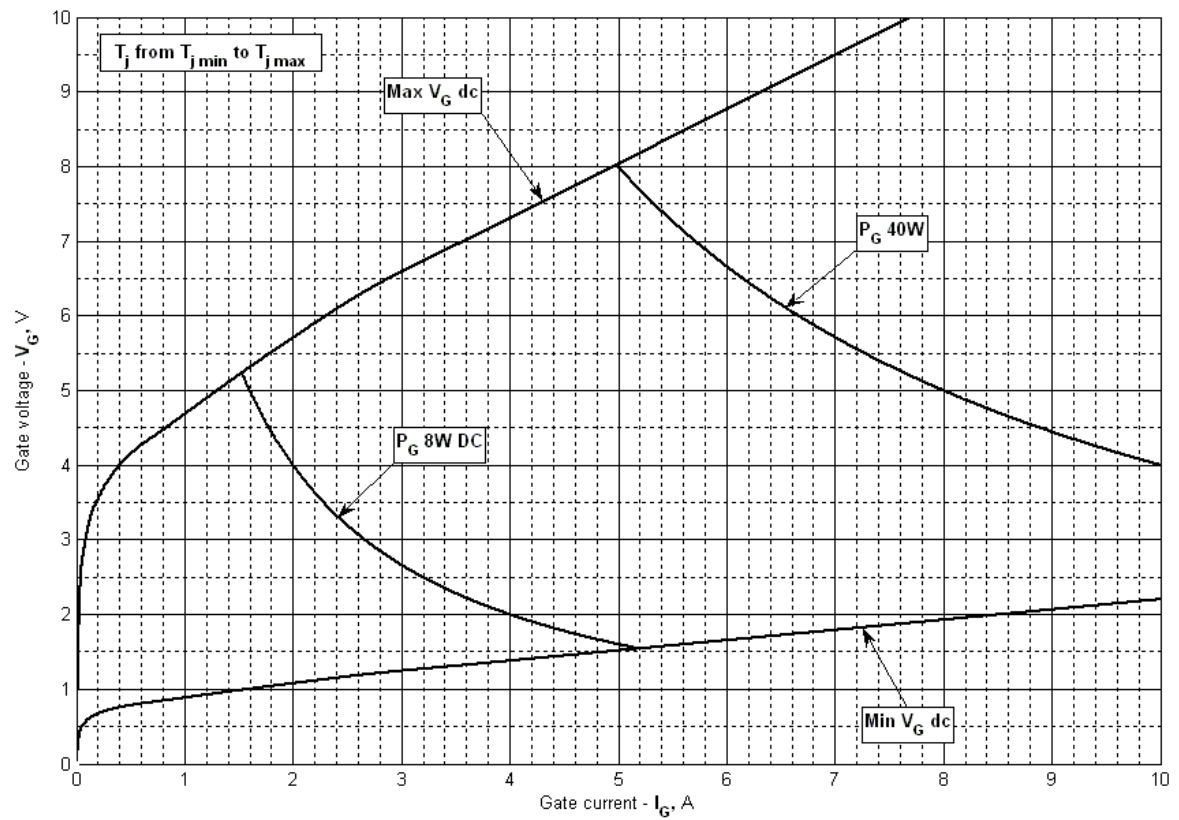


Fig 4 - Gate characteristics –Power curves

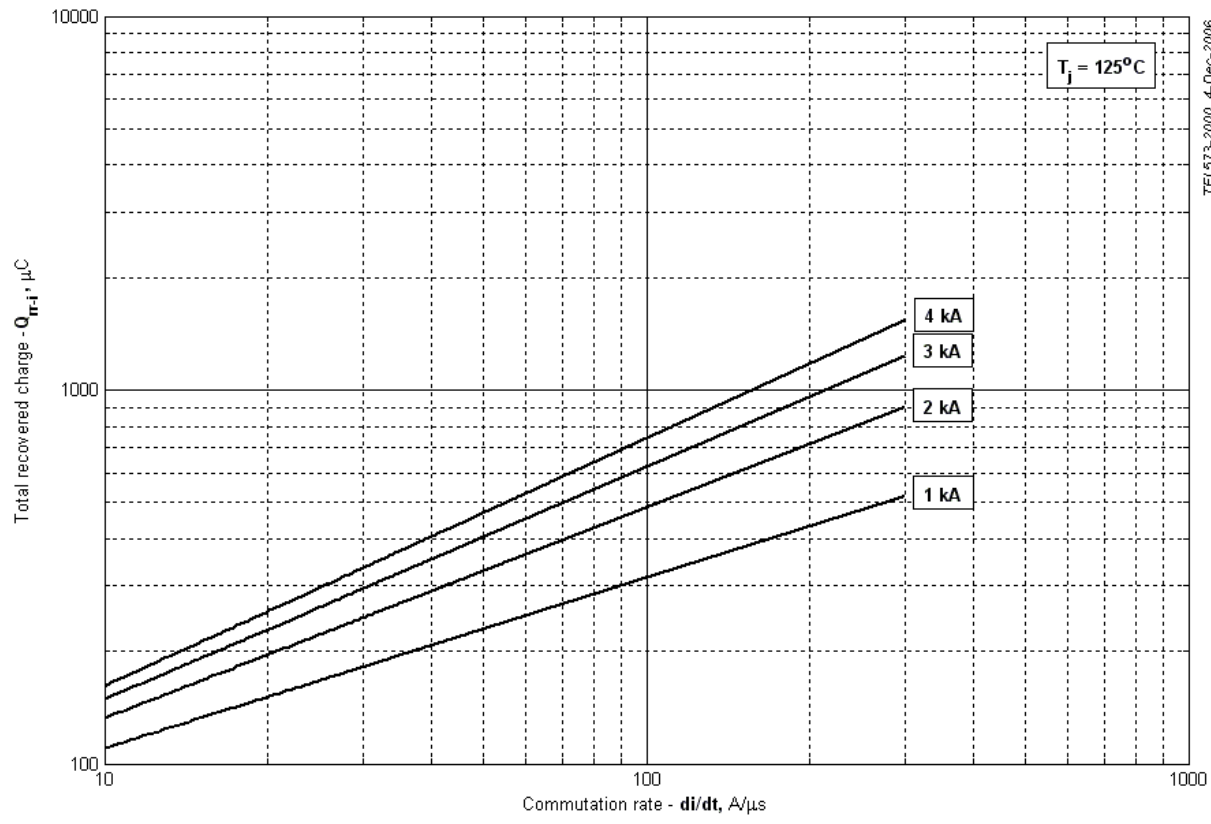


Fig 5 – Total recovered charge, $Q_{rr,i}$ (integral)

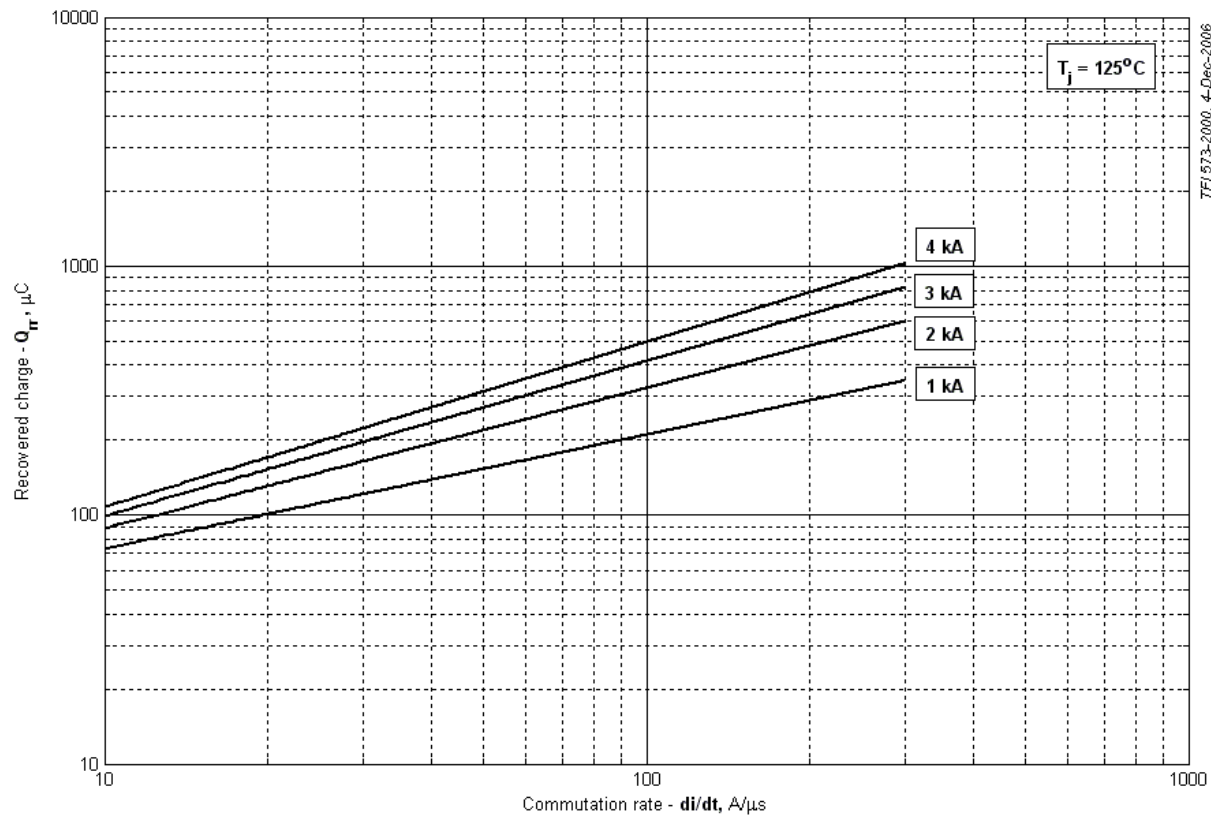


Fig 6 - Recovered charge, Q_{rr} (linear)

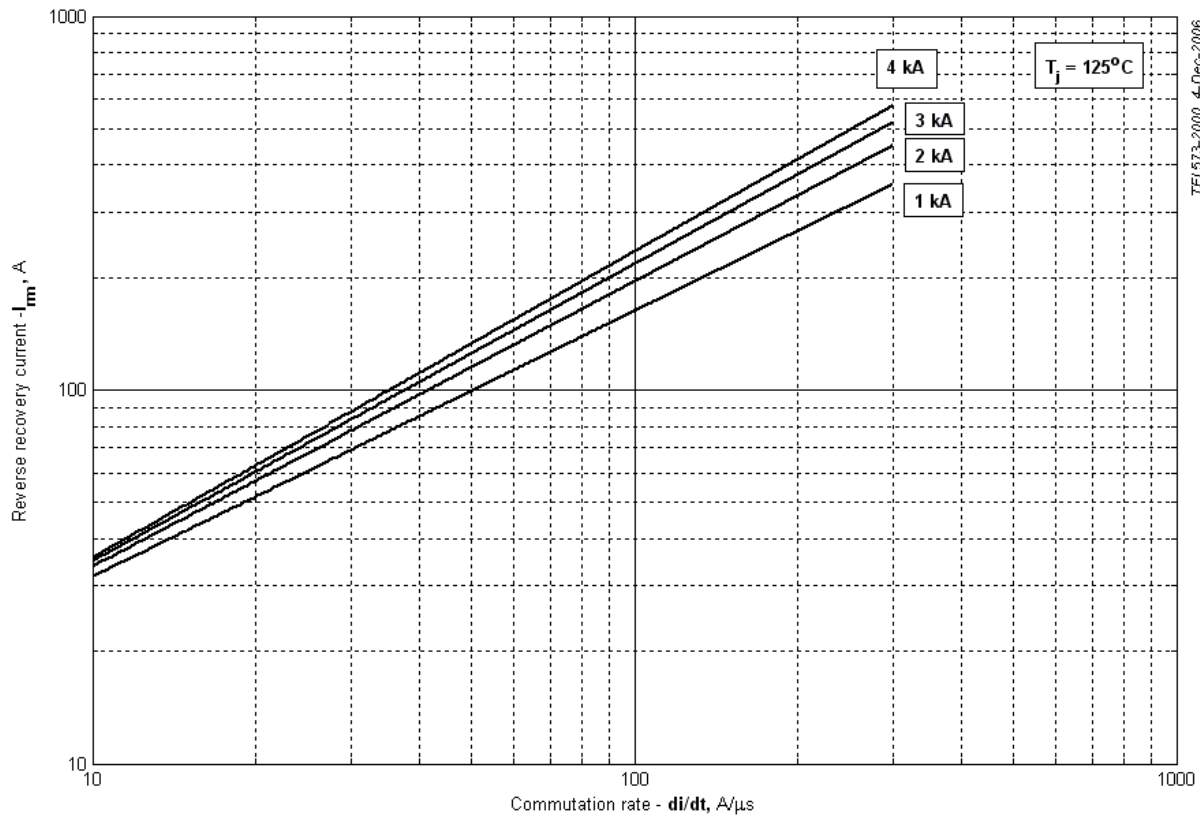


Fig 7 – Peak reverse recovery current, I_{rm}

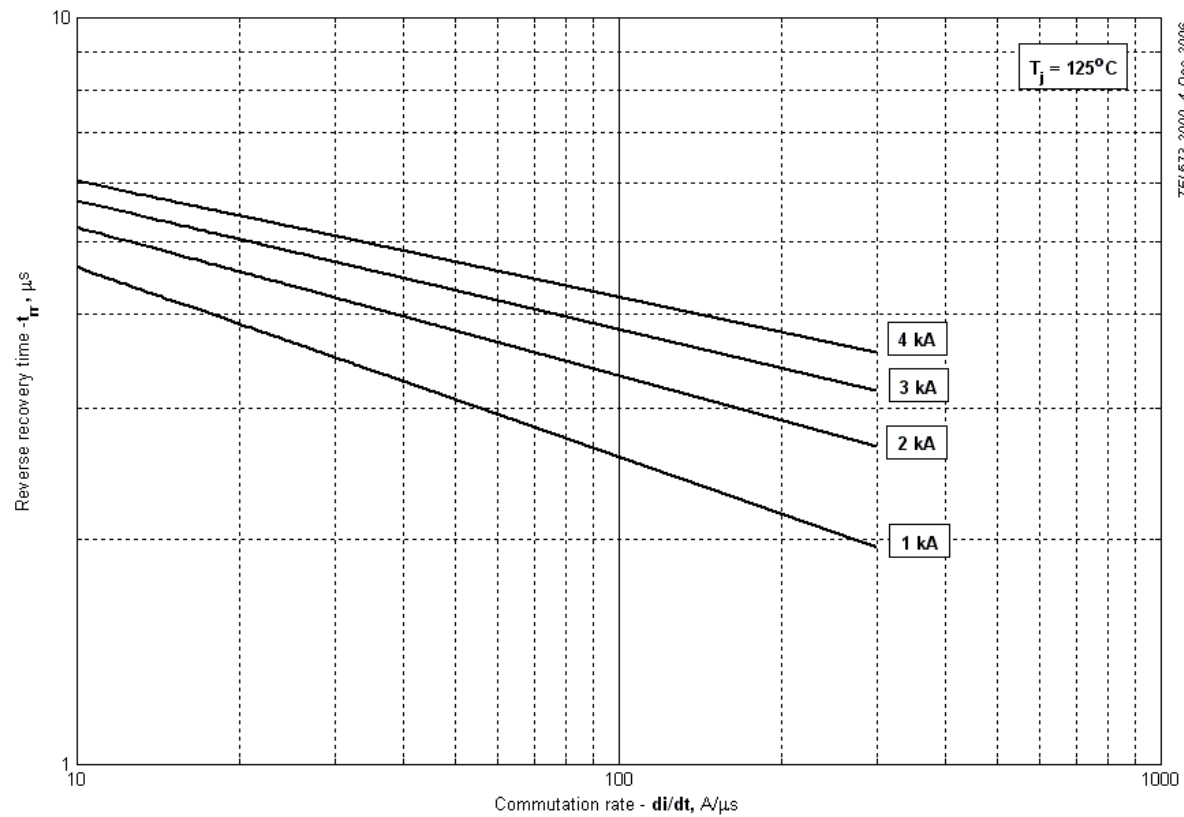


Fig 8 – Typical recovery time, t_{rr} (linear)

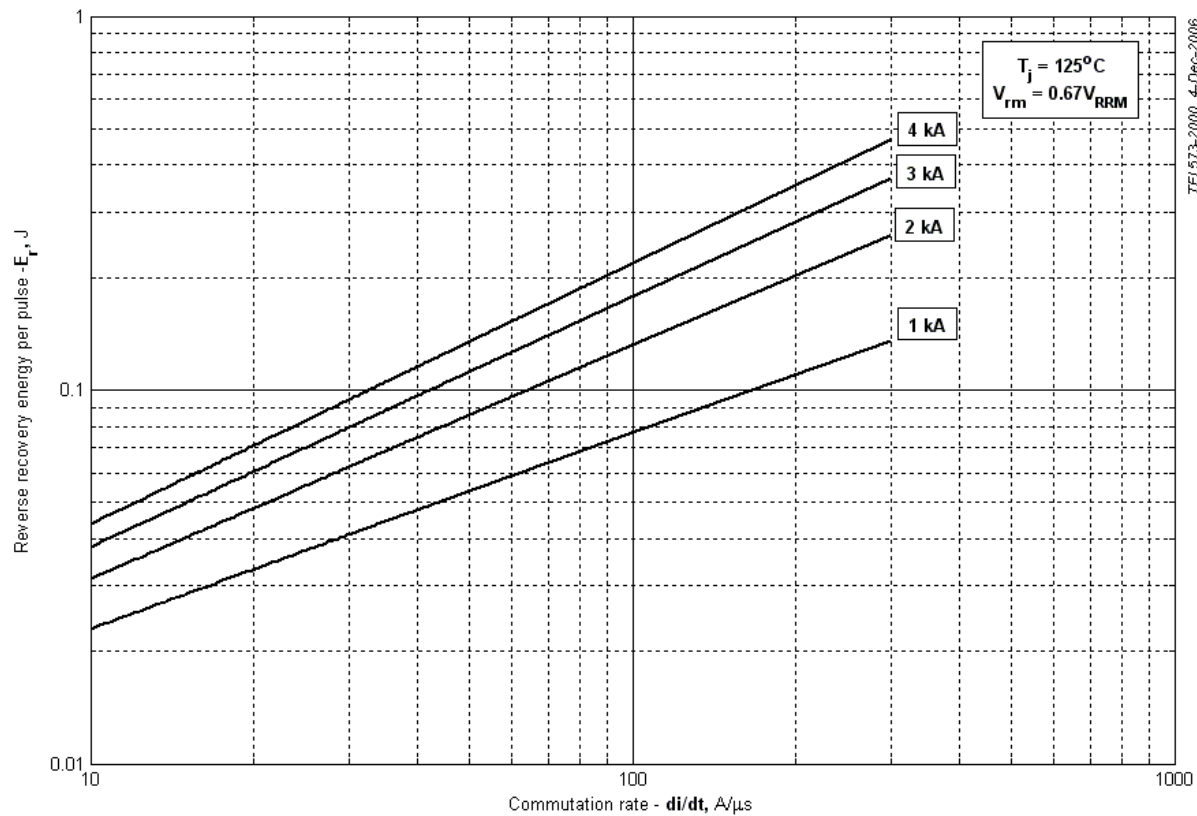


Fig 9 – Reverse recovery energy per pulse

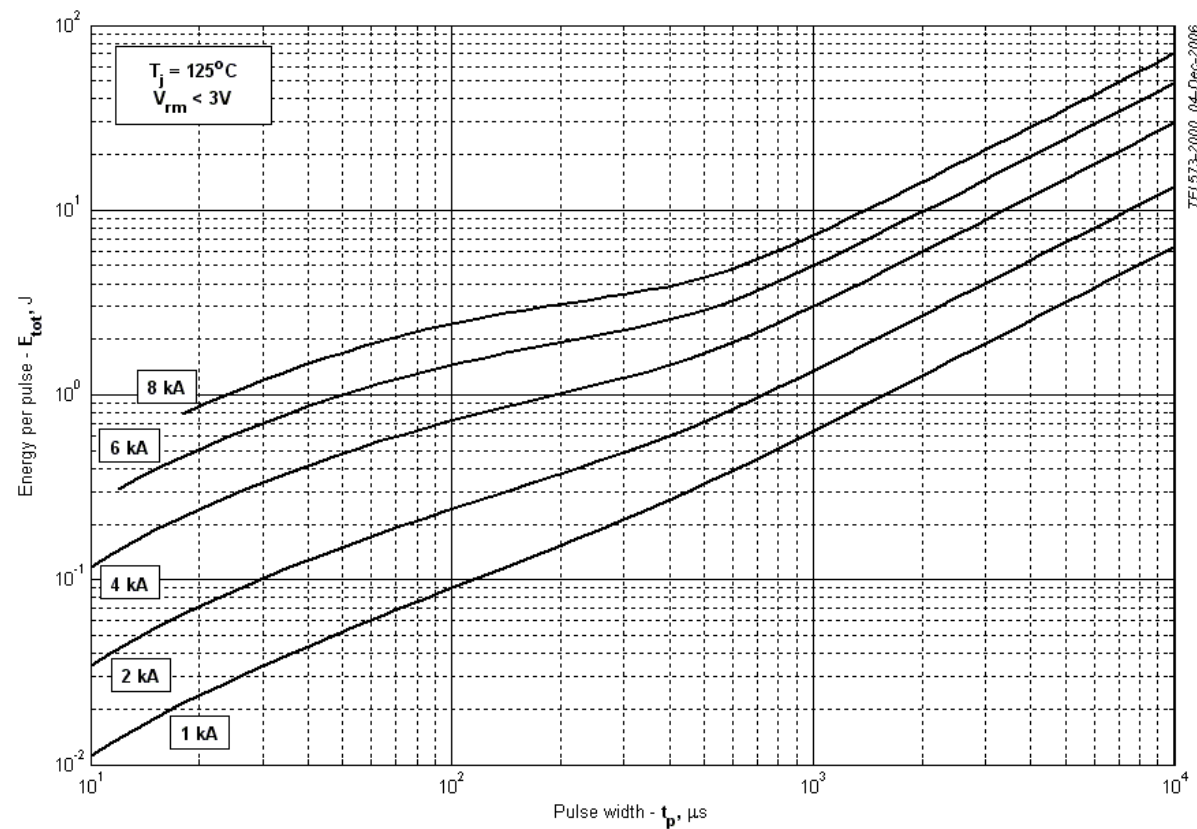


Fig 10 – Sine wave energy per pulse

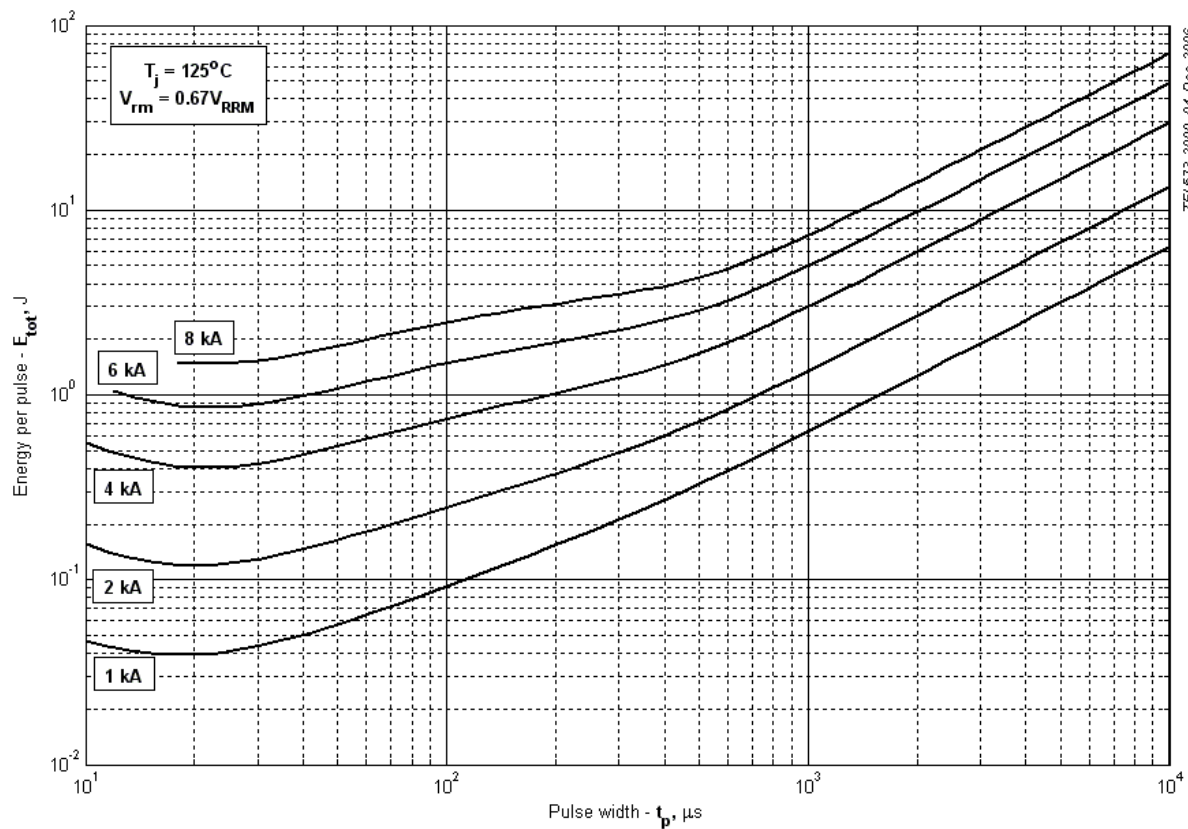


Fig 11 – Sine wave energy per pulse

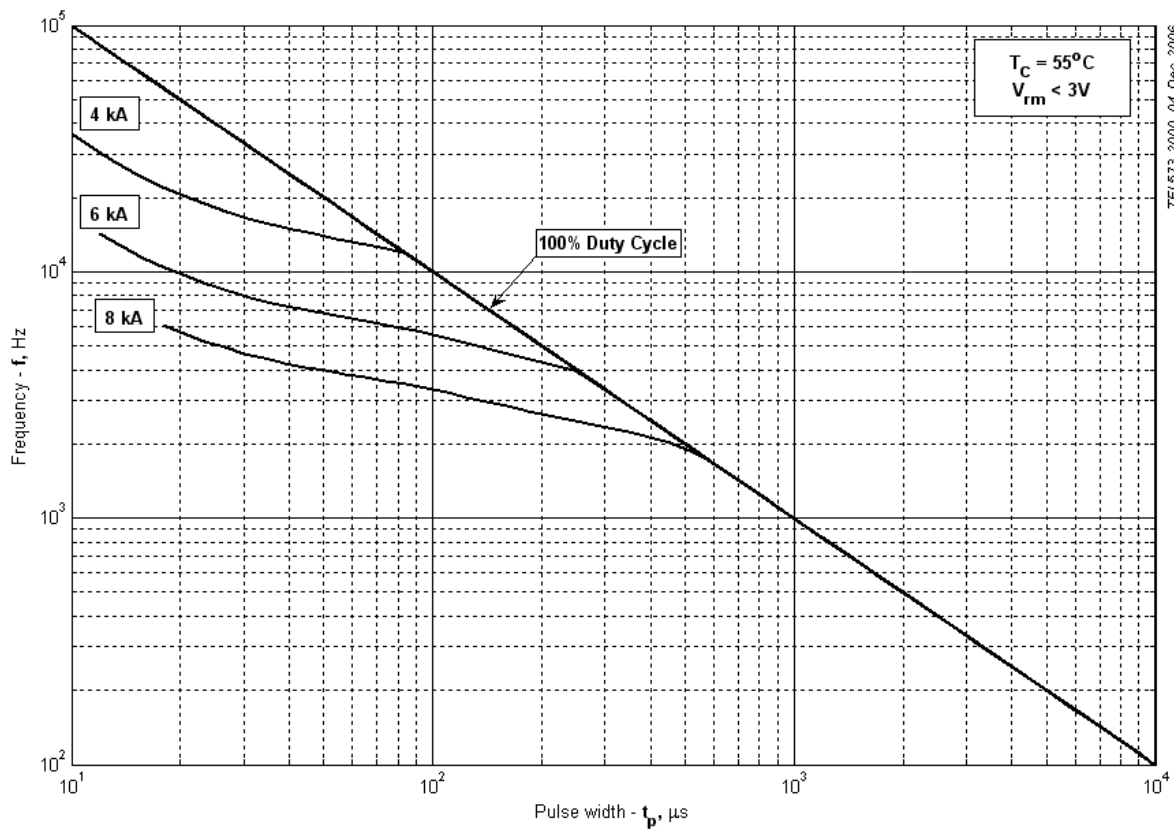
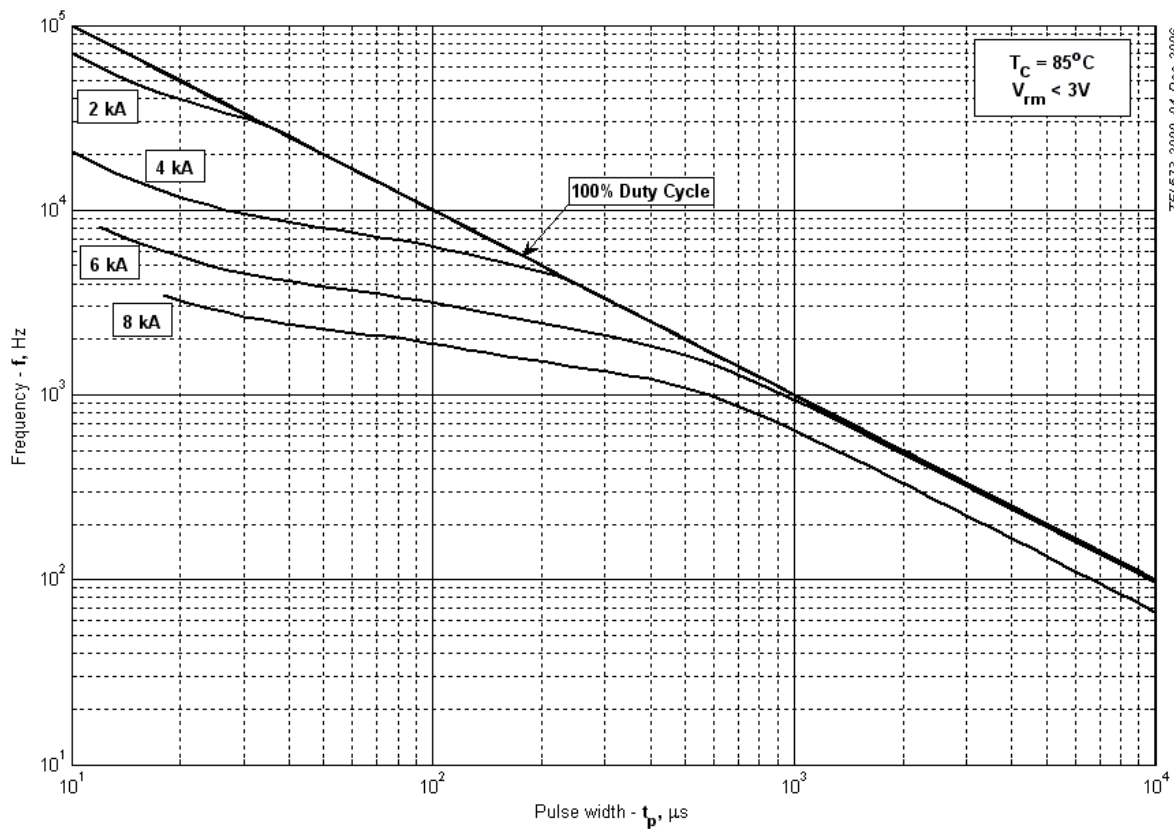
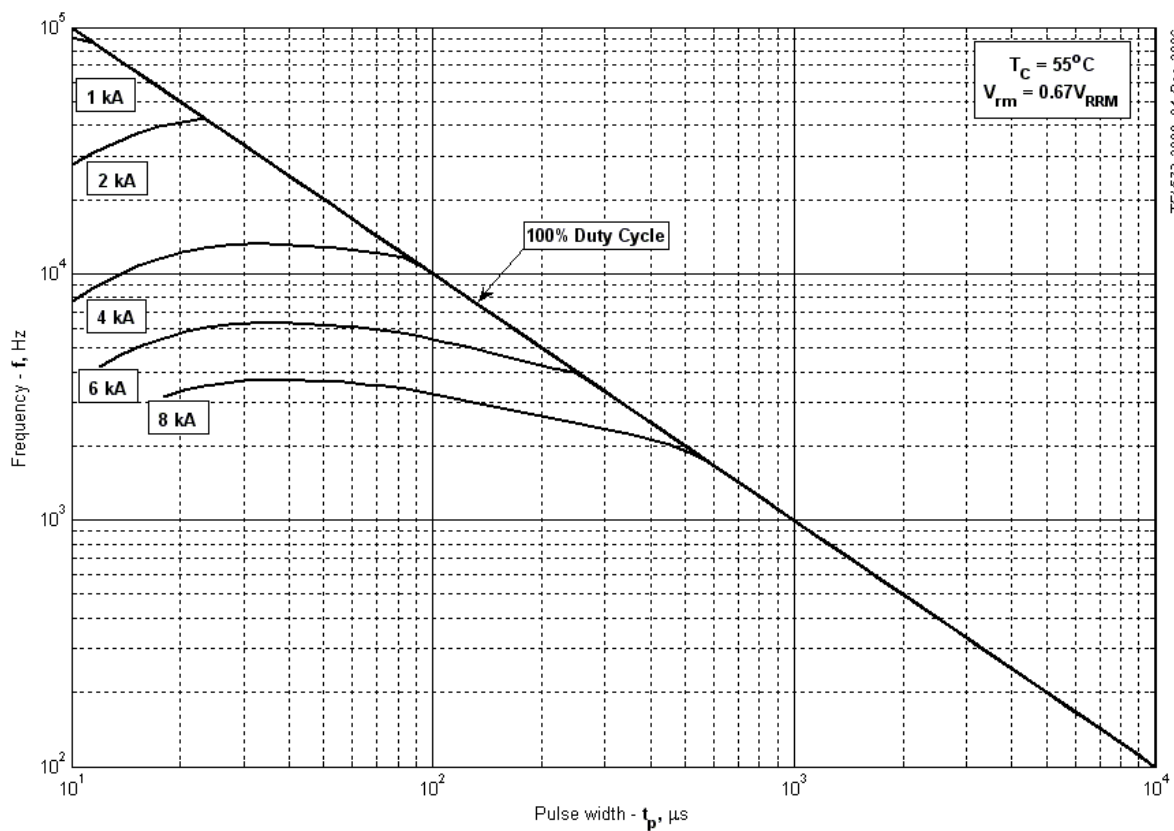


Fig 12 – Sine wave frequency ratings



TFI573-2000, 04-Dec-2006

Fig 13 – Sine wave frequency ratings



TFI573-2000, 04-Dec-2006

Fig 14 – Sine wave frequency ratings

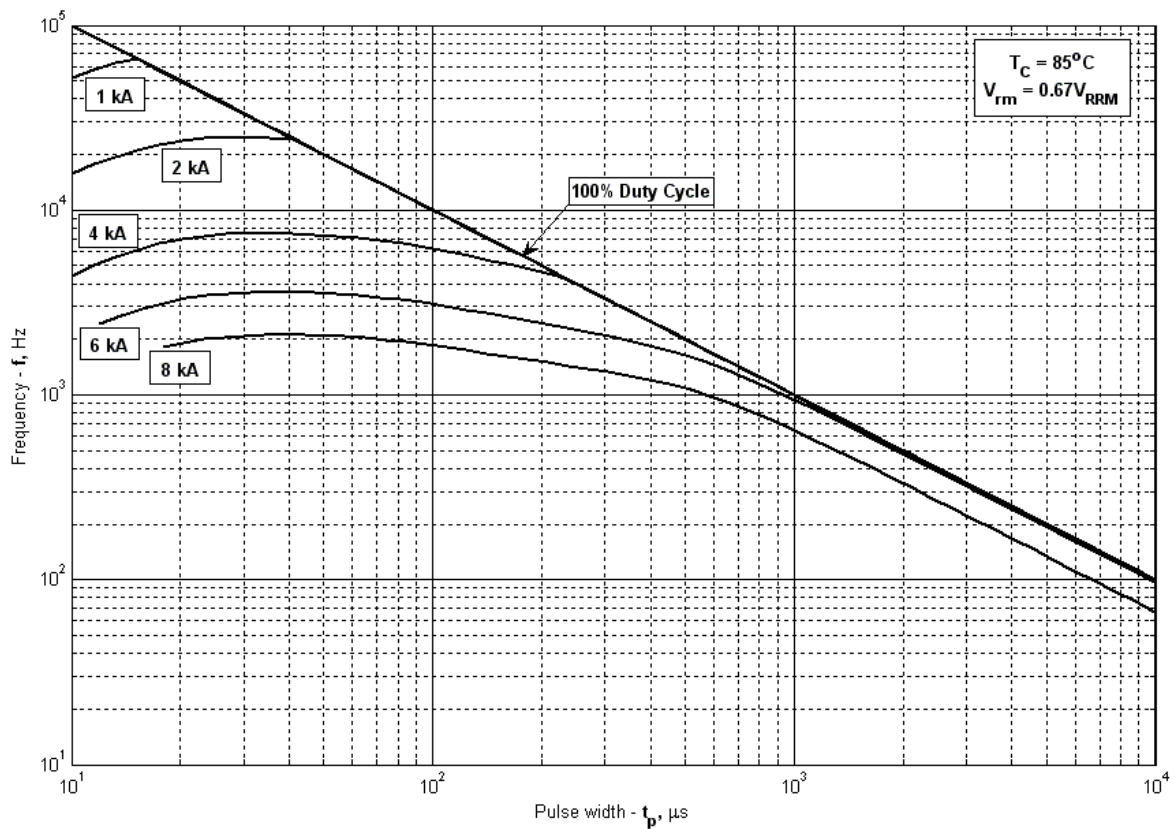


Fig 15 – Sine wave frequency ratings

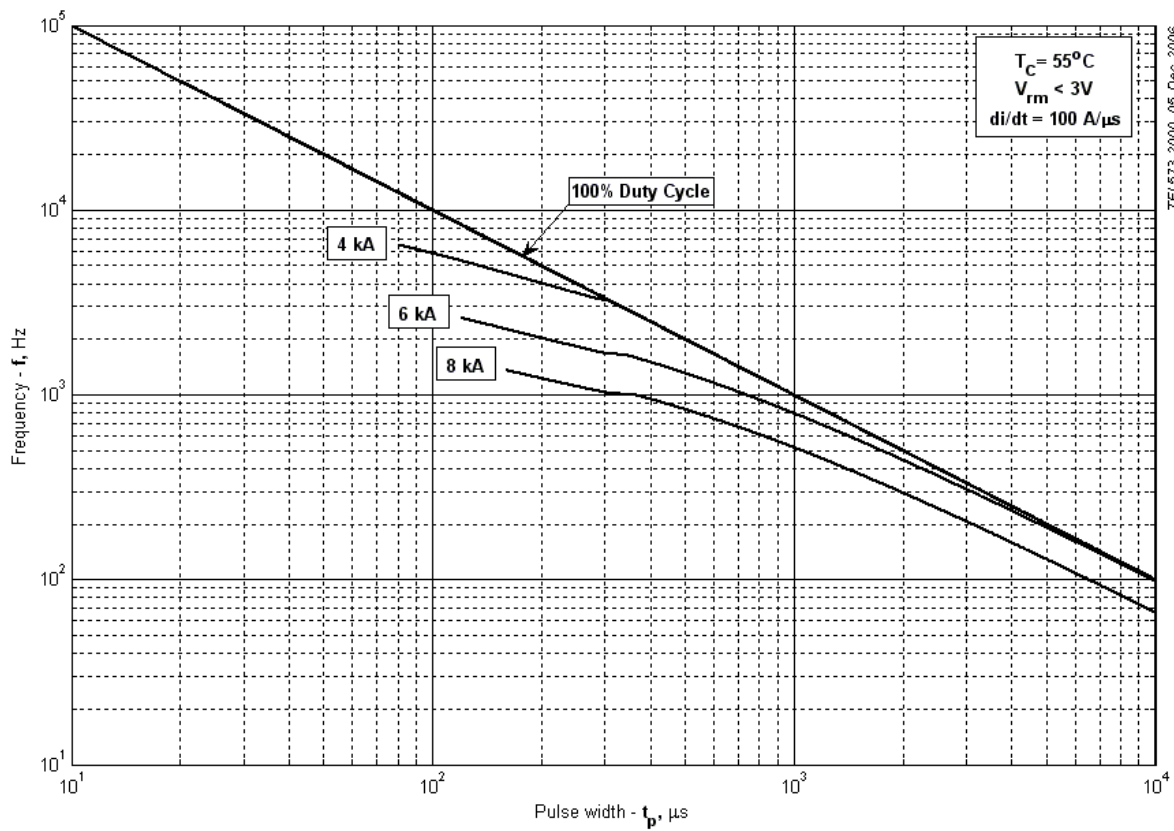


Fig 16 – Square wave frequency ratings

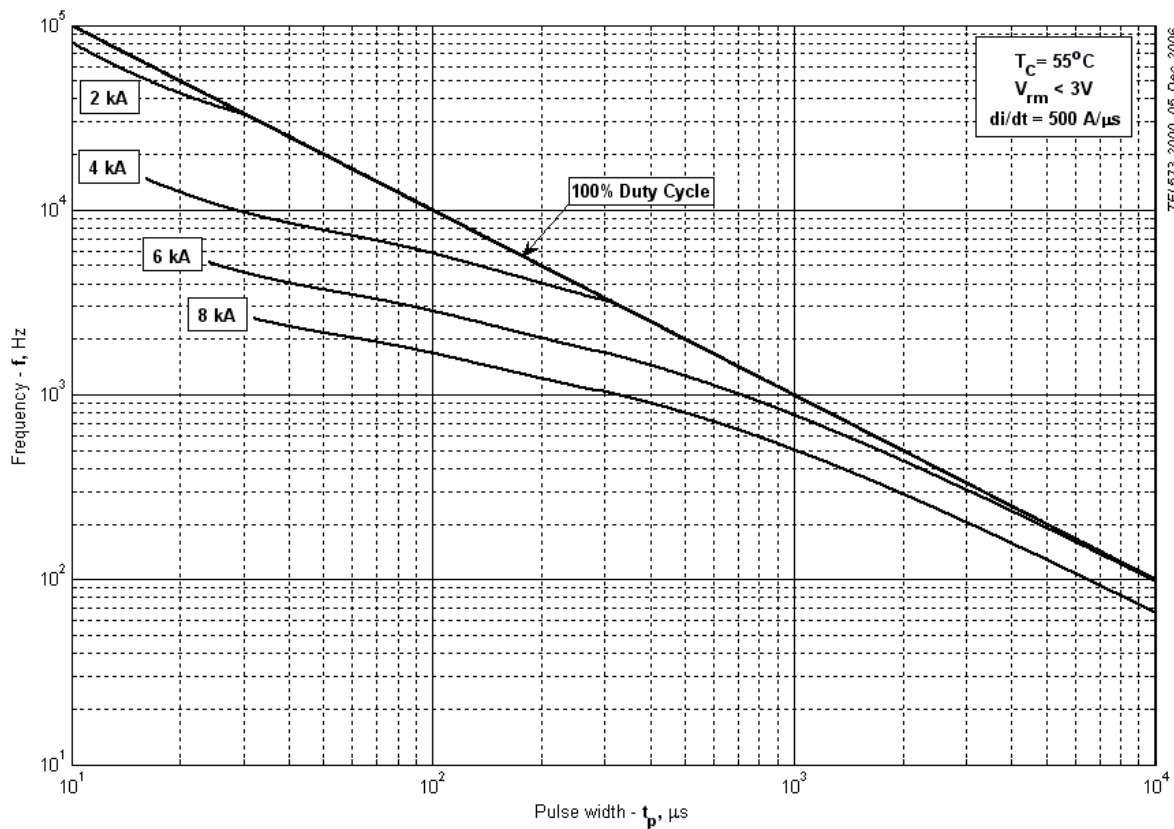


Fig 17 – Square wave frequency ratings

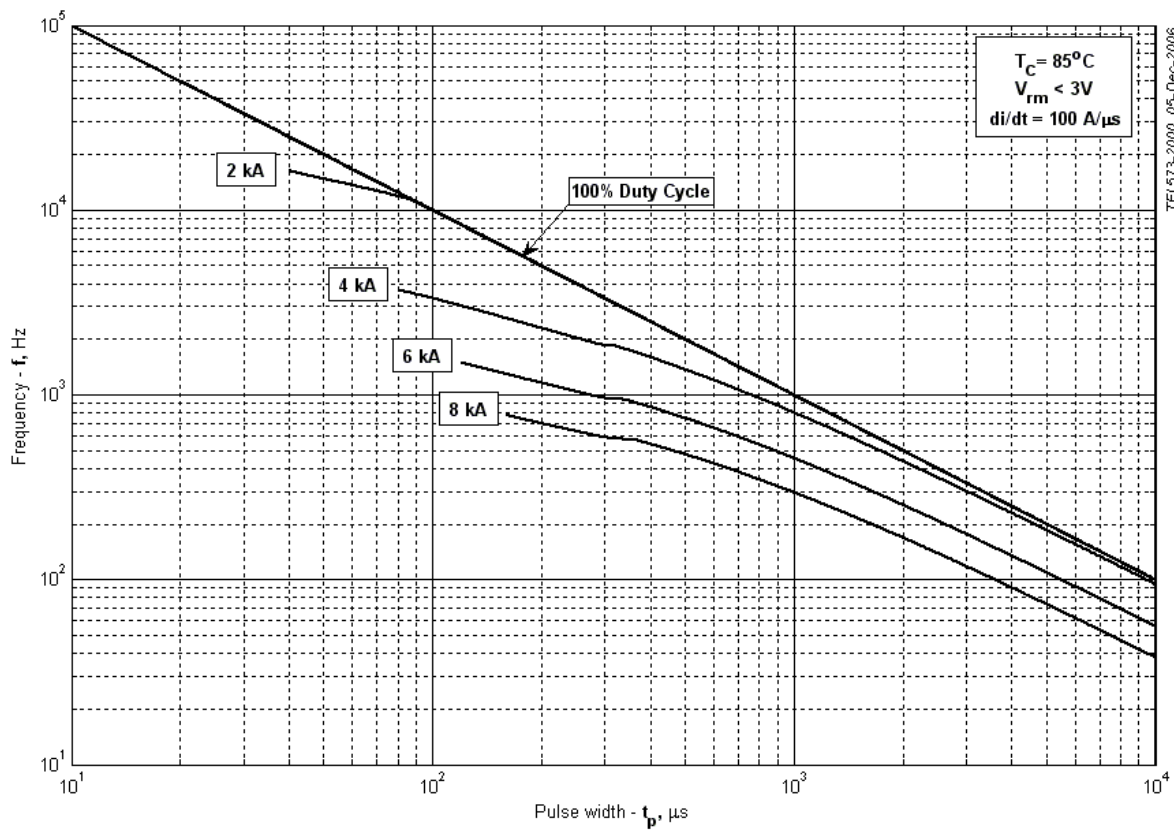


Fig 18 – Square wave frequency ratings

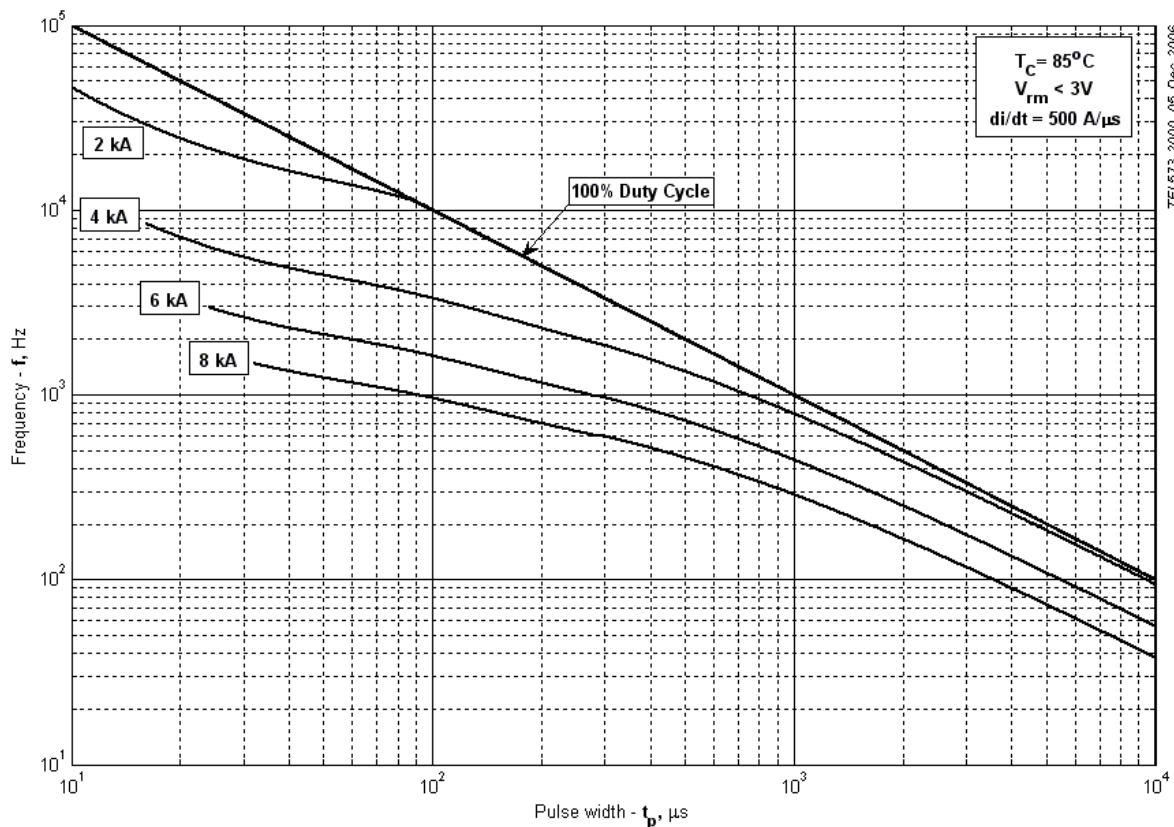


Fig 19 – Square wave frequency ratings

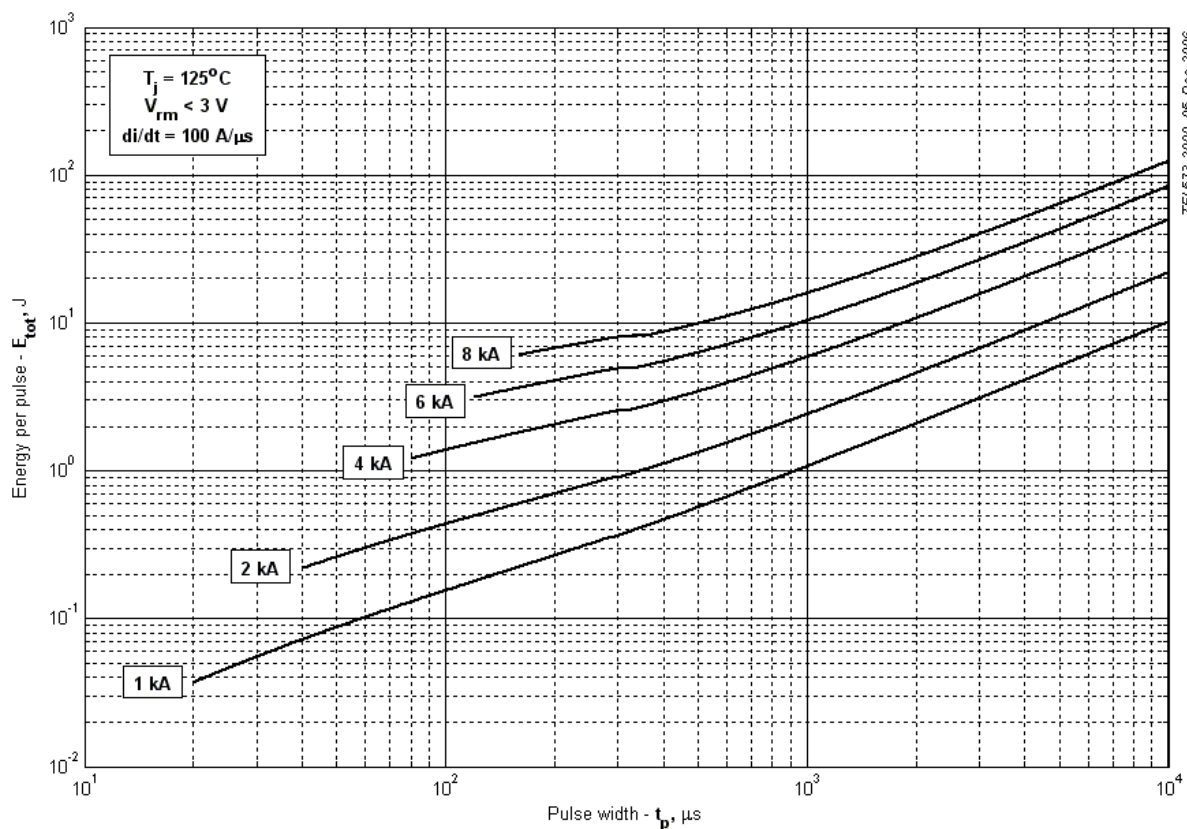


Fig 20 – Square wave energy per pulse

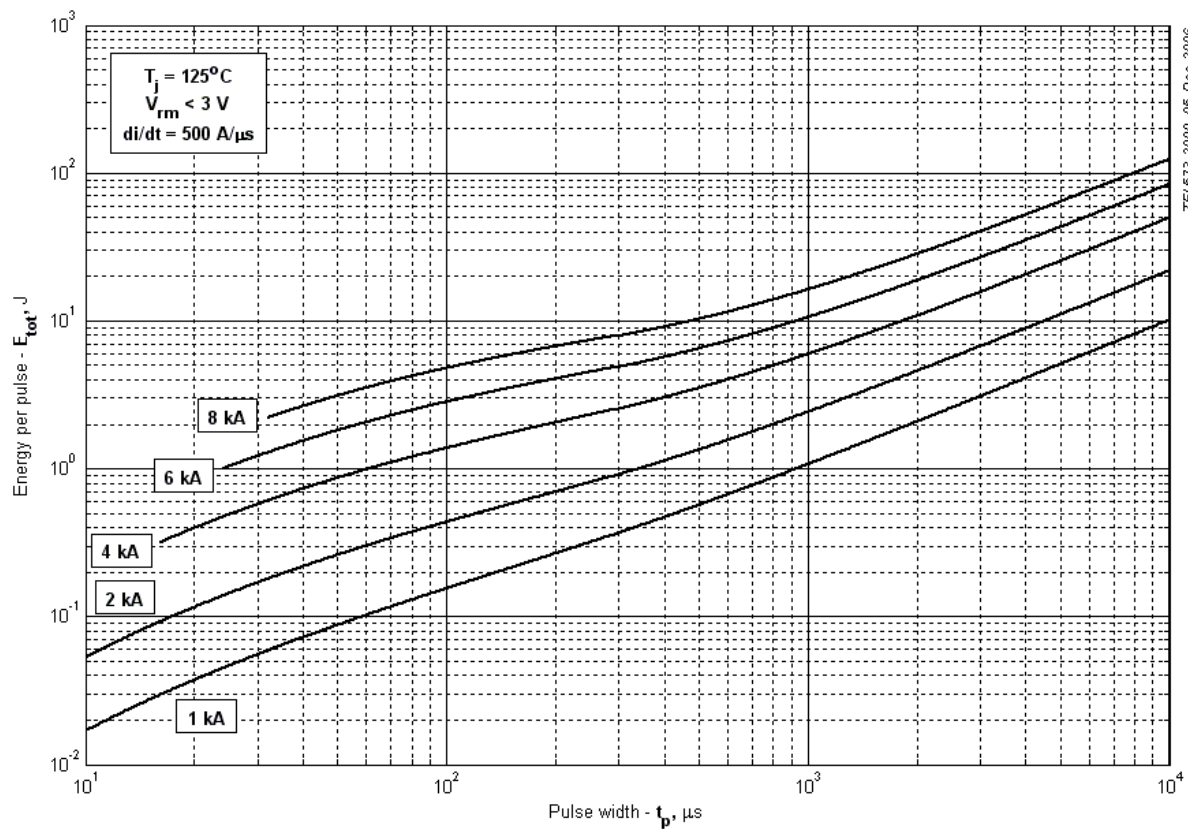


Fig 21 – Square wave energy per pulse

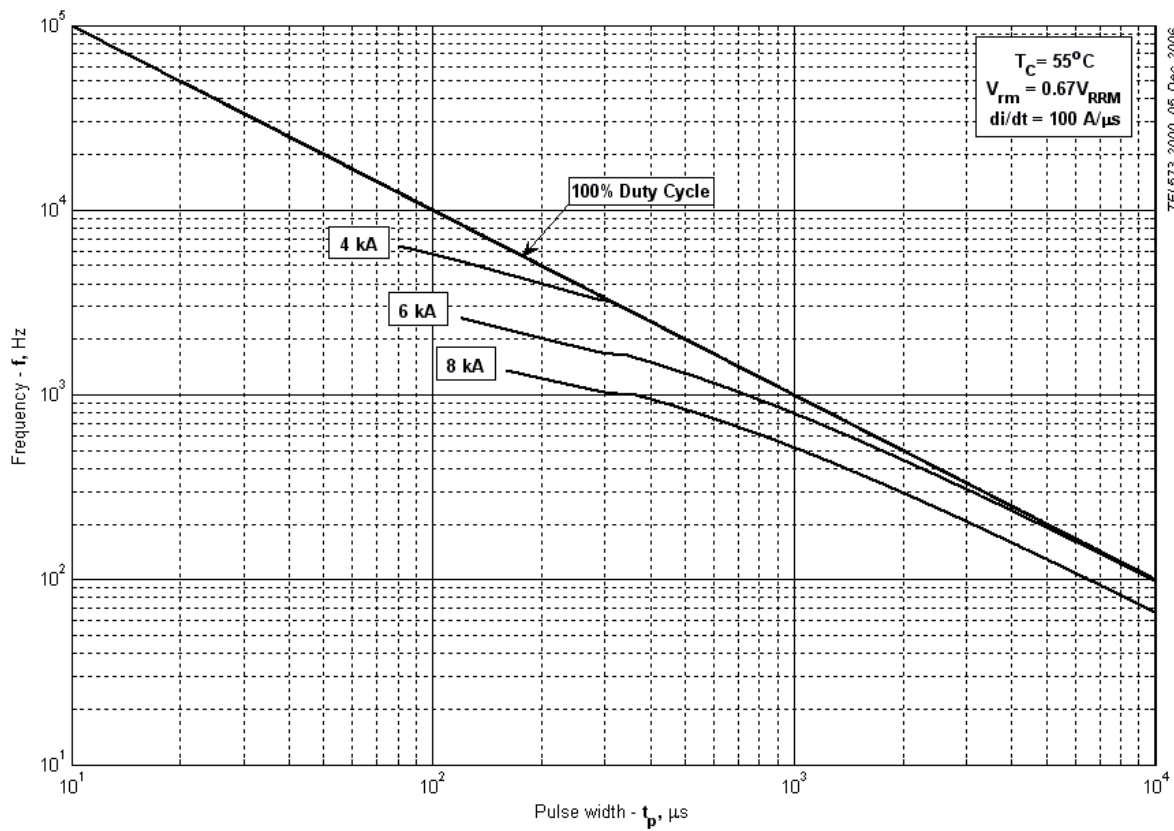


Fig 22 – Square wave frequency ratings

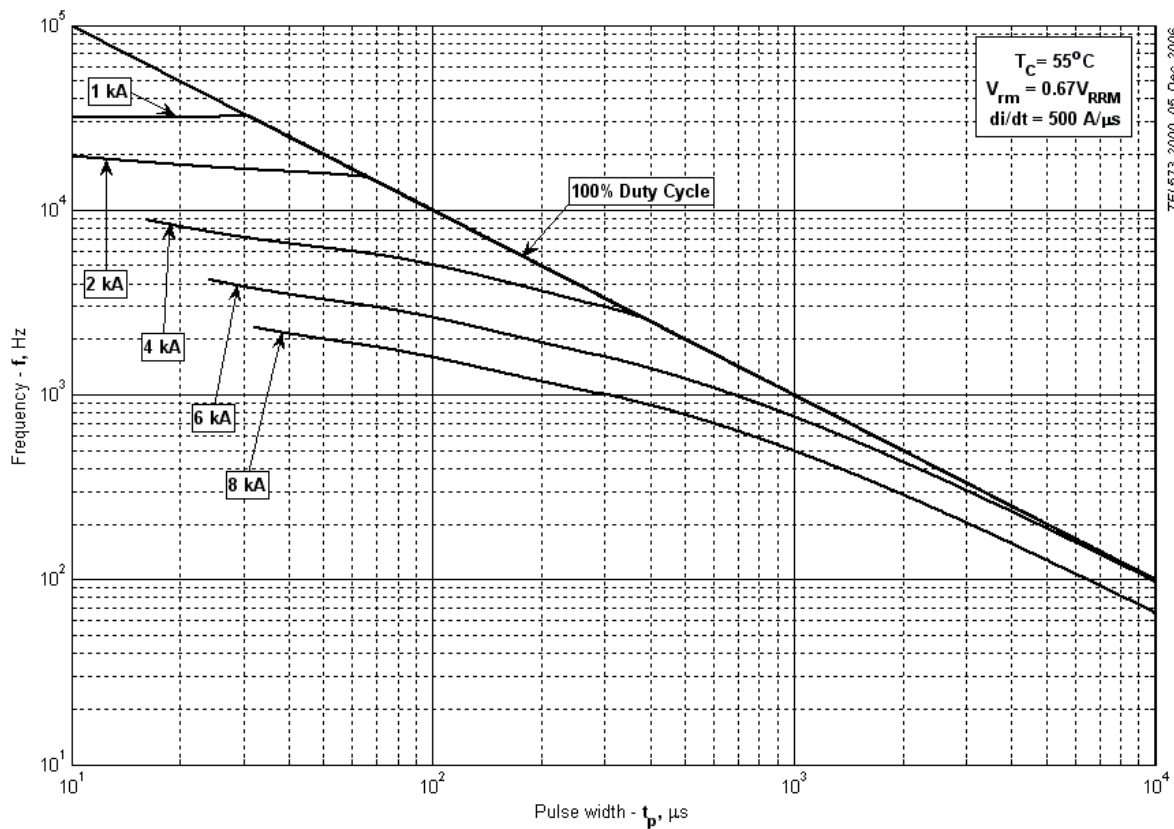


Fig 23 – Square wave frequency ratings

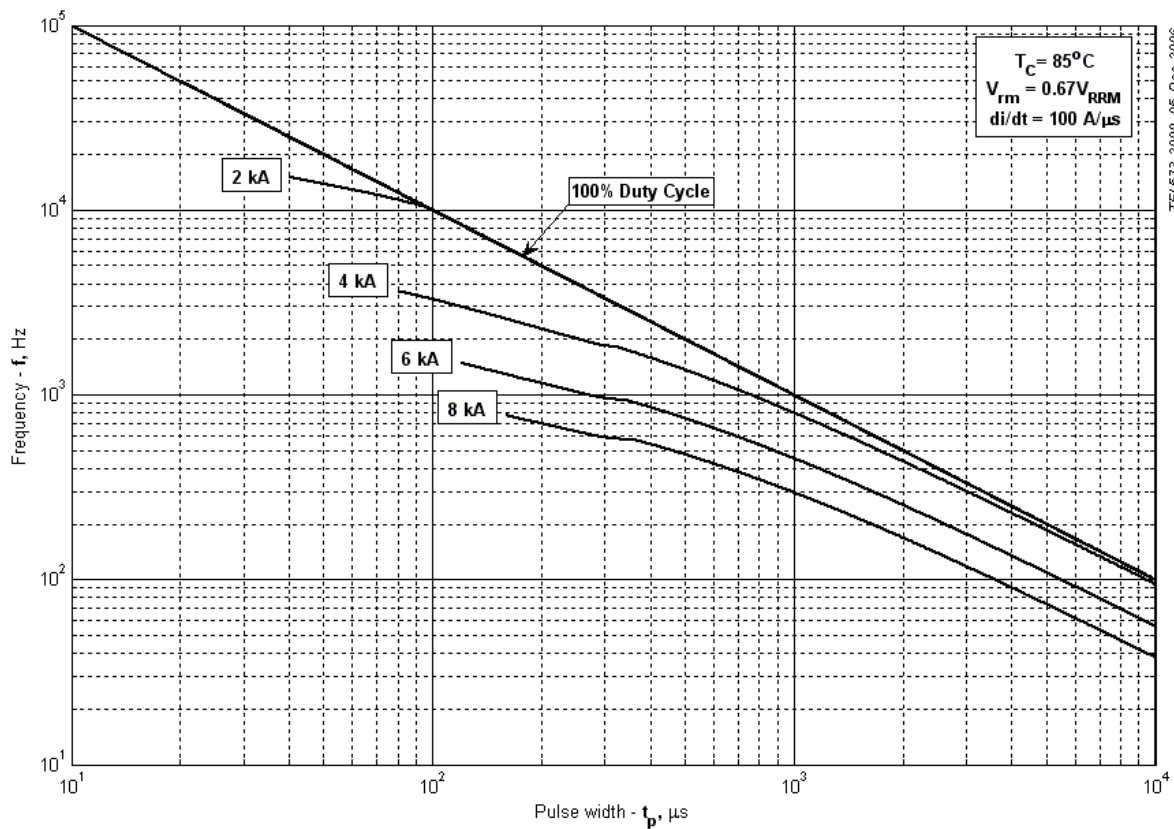


Fig 24 – Square wave frequency ratings

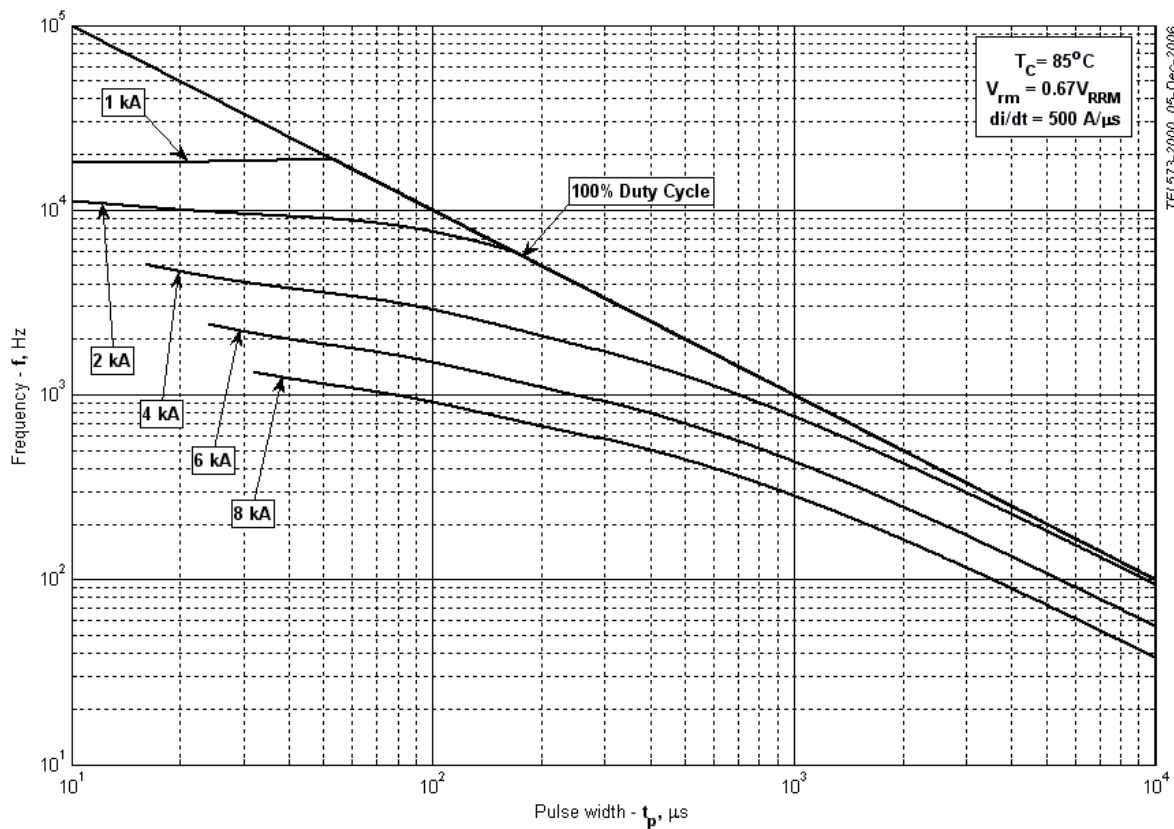


Fig 25 – Square wave frequency ratings

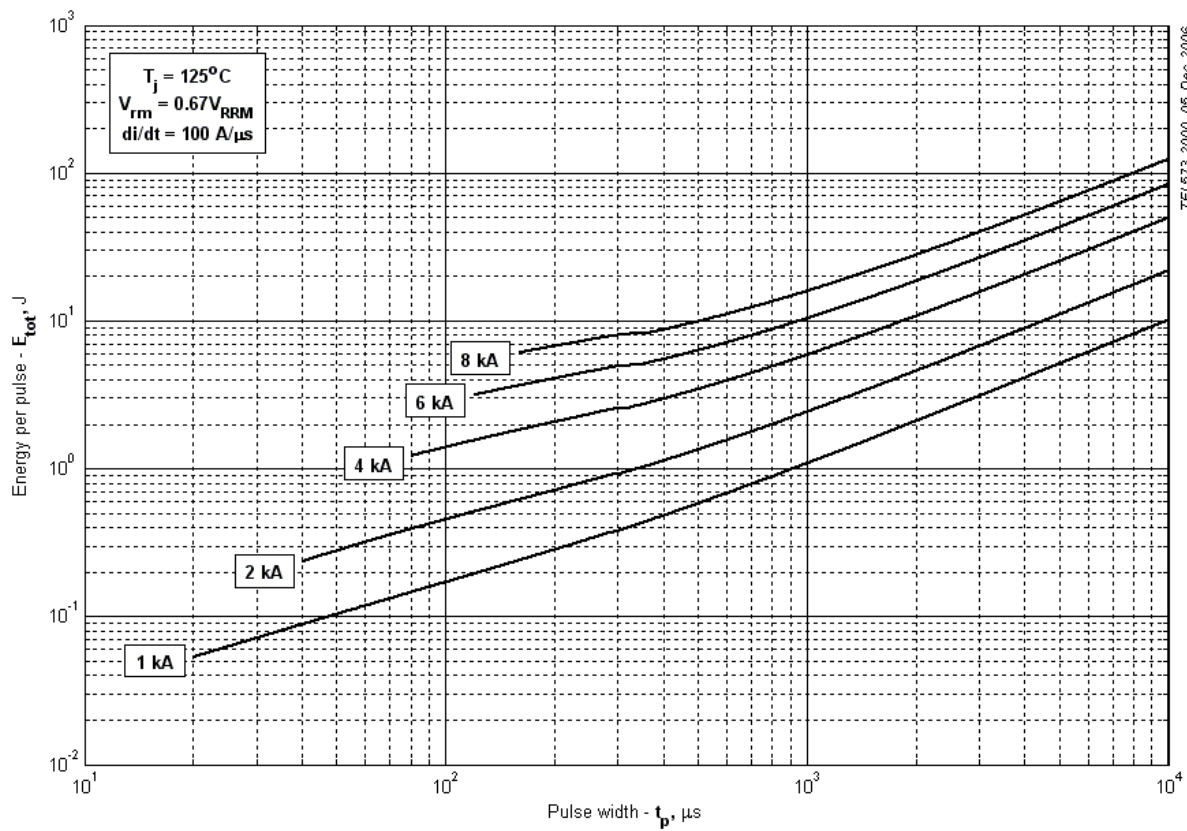


Fig 26 – Square wave energy per pulse

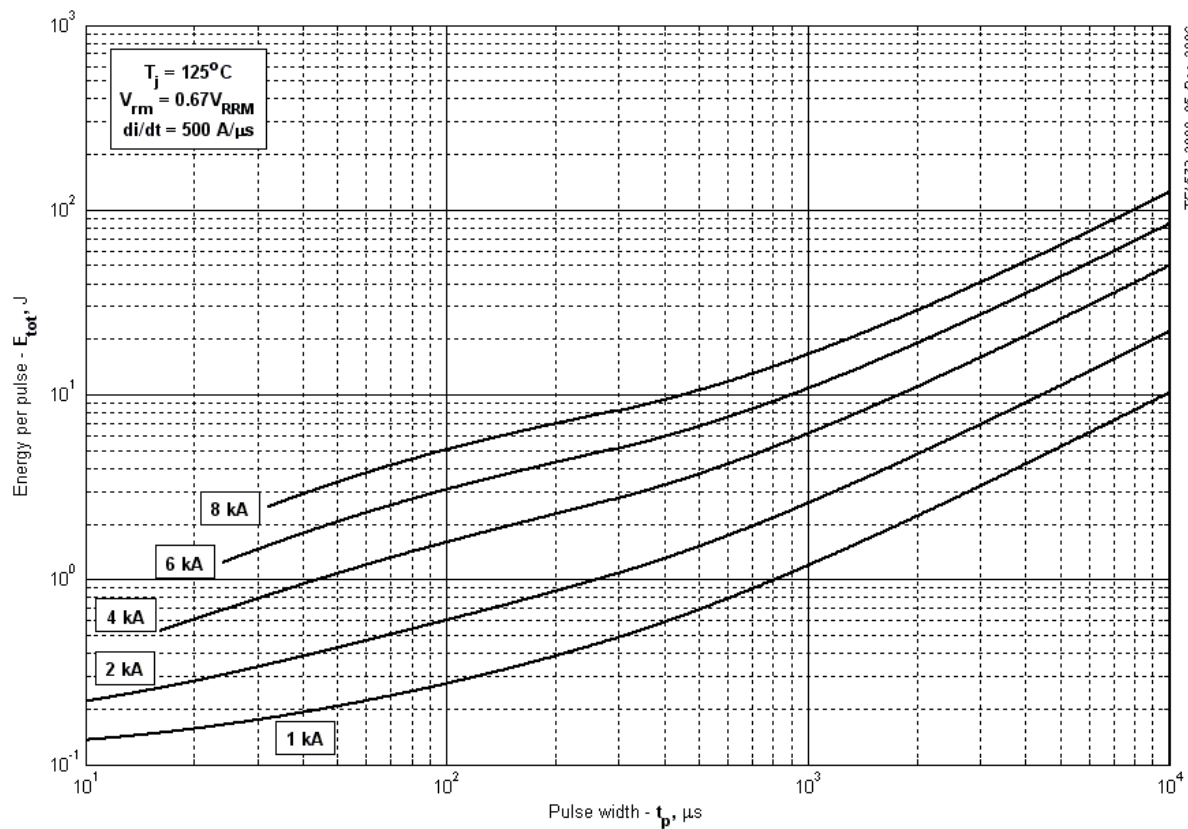


Fig 27 – Square wave energy per pulse

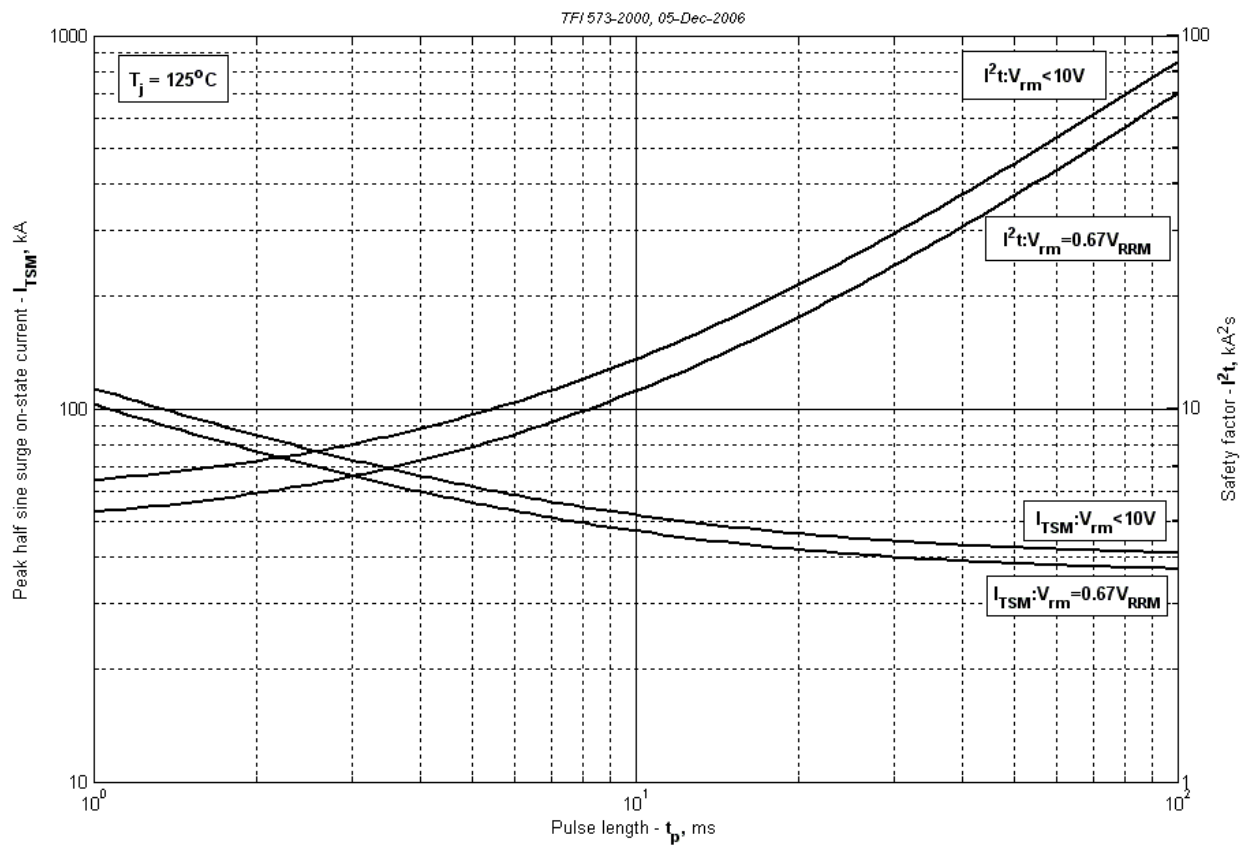


Fig 29 – Maximum surge and I^2t ratings

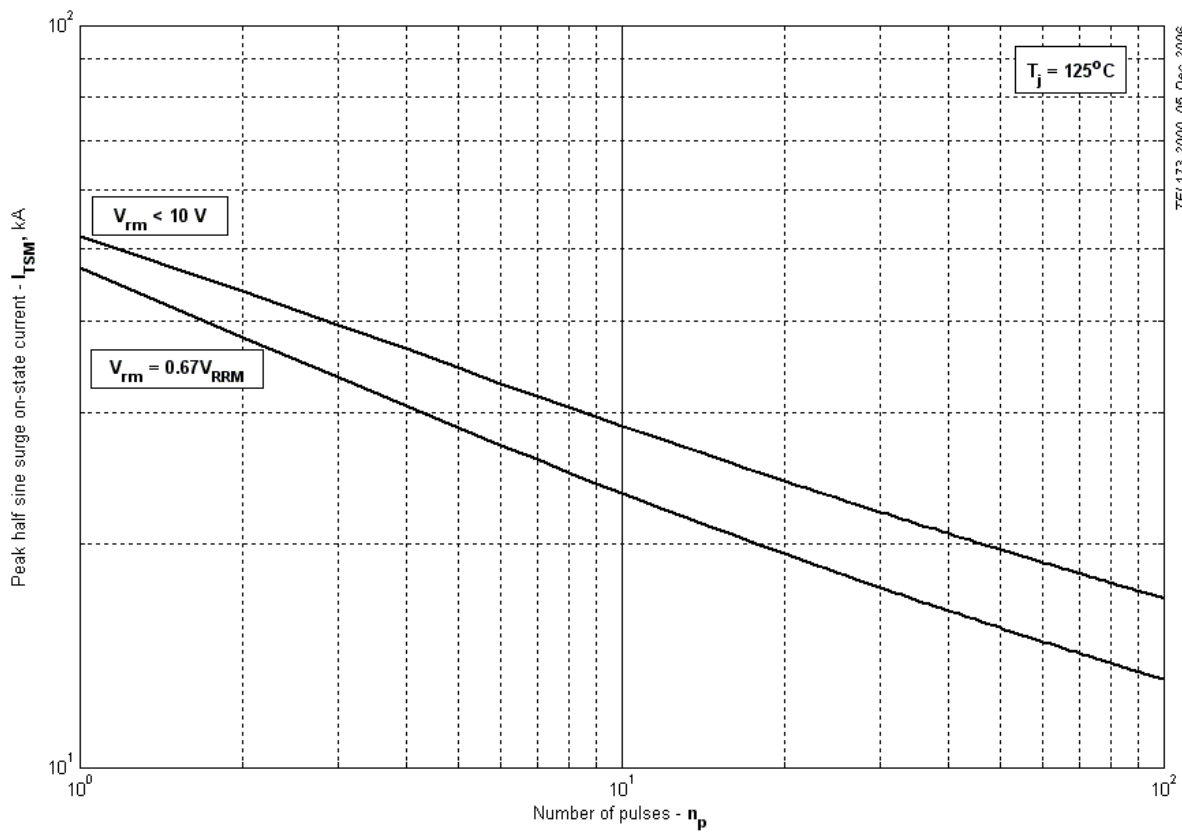


Fig 30 – Maximum surge ratings